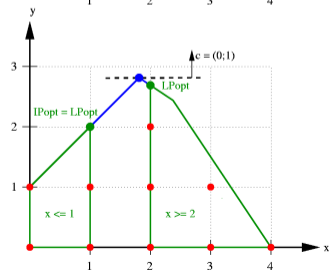
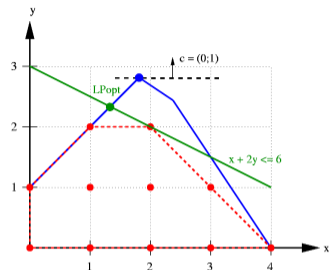


Kapitel 5

Branch-and-Cut



Inhalt

5 Branch-and-Cut

- Branch-and-Cut
- Separation für TSP
- Praktischer Einsatz von Branch-and-Cut

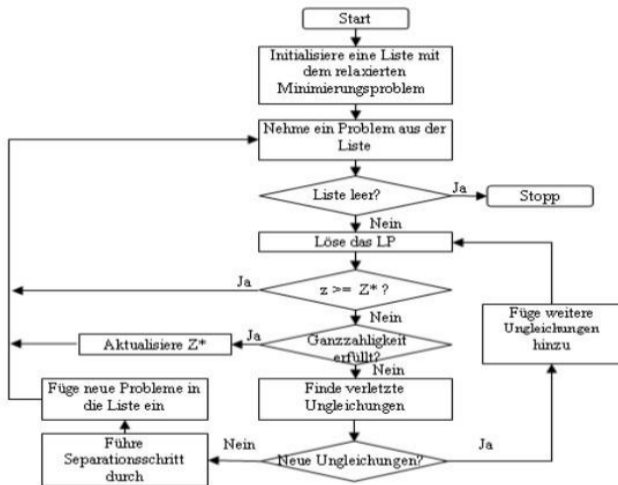
Branch-and-Cut

- Verwende **Branch-and-Bound als übergeordneten Algorithmus**.
- Nutze **LP-Relaxationen** zur Bestimmung oberer Schranken für die Teilprobleme P_i .
- Falls Lösung der LP-Relaxation nicht zu einer Auslotung führt:
 - ☞ Versuche durch **Schnittebenen** die obere Schranke zu verringern.
 - ☞ Im Idealfall führt dies zu einem ausgeloteten Teilproblem P_i .
- Branching erst dann, wenn weitere Schnittebenen “nichts mehr bringen”.
- Als Schnittebenen nutzen wir i. d. R. **problemspezifische gültige Ungleichungen**.

Branch-and-Cut-Algorithmus

Algorithmus 5.1 (für Maximierungsprobleme)

- 1 $\mathcal{P} := \{LP\text{-Relaxation von } P\}$
 $z^* :=$ Wert einer heuristischen Lösung (oder $-\infty$)
- 2 $\mathcal{P} = \emptyset$? Wenn ja, dann **STOP!**
Wähle $P \in \mathcal{P}$. $\mathcal{P} := \mathcal{P} \setminus \{P\}$
- 3 Löse P . Sei z der zugehörige Zielfunktionswert.
- 4 $z \leq z^*$? Wenn ja, dann **gehe zu 2**.
- 5 Ist die Lösung von P ganzzahlig? Wenn, ja dann aktualisiere eventuell z^* und **gehe zu 2**.
- 6 Suche eine verletzte gültige Ungleichung.
Wenn Ungleichung gefunden, dann füge diese P hinzu und **gehe zu 3**.
- 7 Wähle aus der Lösung von P eine gebrochene Variable x_i und erzeuge damit zwei neue Probleme P_1 und P_2 .
Setze $\mathcal{P} := \mathcal{P} \cup \{P_1, P_2\}$ und **gehe zu 2**.



Diskussion Branch-and-Cut

- Der Unterschied zum reinen Branch-and-Bound besteht im Schritt 6.
- Hier werden üblicherweise Ungleichungen verwendet, die **speziell für eine Problemklasse sind**.
- **Separationsproblem**: Welche gültigen Ungleichungen werden von einer optimalen Lösung einer LP-Relaxation verletzt?
- Die Effizienz eines Branch-and-Cut-Algorithmus wird maßgeblich von der **Güte der erkannten verletzten Ungleichungen und der Effizienz der Separation** beeinflusst.

Wir untersuchen den Branch-and-Cut-Ansatz am **Beispiel des Traveling-Salesman-Problems**.

TSP als lineares Programm: Variablen und Zielfunktion

Vollständiger Graph (V, E) mit Knotenmenge $V = \{v_1, \dots, v_n\}$.

c_{ij} bzw. c_e sei die **Länge der Kante** $e = \{v_i, v_j\}$.

Wegen Symmetrie gelte stets $i < j$.

$$x_{ij} = x_e = \begin{cases} 1 & \text{Kante } e = \{v_i, v_j\} \text{ ist in Tour enthalten} \\ 0 & \text{sonst} \end{cases}$$

Zielfunktion:

$$\min \sum_{i=1}^n \sum_{j=i+1}^n c_{ij} x_{ij} \quad \text{bzw.} \quad \min \sum_{e \in E} c_e x_e$$

Menge der Schnittkanten

Definition 5.2

Es sei $G = (V, E)$ ein Graph und $S \subseteq V$. Die Menge


$$\delta(S) = \{e = \{v, w\} \in E \mid v \in S, w \in V \setminus S\}.$$

heißt **Menge der Schnittkanten** von S .

Für einen einzelnen Knoten $v \in V$ schreiben wir kurz $\delta(v) := \delta(\{v\})$.

Bemerkung: $\delta(v)$ besteht aus allen Kanten, die inzident zu v sind.

Beispiel 5.3

Beispiele für die Menge der Schnittkanten. 

Bezeichnungen für TSP

Definition 5.4

Es sei $G = (V, E)$ ein vollständiger Graph.

Für eine **Kantenteilmenge** $F \subseteq E$ bezeichne

$$x(F) = \sum_{e \in F} x_e.$$

Für eine **Knotenteilmenge** $S \subseteq V$ bezeichne

$$x(S) = x(E(S)) \text{ mit } E(S) = \{e = \{v, w\} \mid v, w \in S\}.$$

Gültige Ungleichungen für das TSP (1)

In einer TSP-Tour ist jeder Knoten inzident mit genau zwei Kanten.

Für $i = 1, \dots, n$:

$$\sum_{j=1}^{i-1} x_{ji} + \sum_{j=i+1}^n x_{ij} = 2,$$

oder kurz: für alle $v \in V$ gilt

$$x(\delta(v)) = 2.$$

Grad-Gleichungen



Gültige Ungleichungen für das TSP (2)

Jede Kante ist an einer TSP-Tour mit einem Gewicht von höchstens 1 beteiligt.

Für $1 \leq i < j \leq n$:

$$0 \leq x_{ij} \leq 1,$$

bzw. für alle $e \in E$ gilt:

$$0 \leq x_e \leq 1.$$

Variablenbeschränkungen (triviale Ungleichungen)



Gültige Ungleichungen für das TSP (3)

Für jede echte Teilmenge $S \subsetneq V$ ist der induzierte Untergraph $T(S)$ einer TSP-Tour T kreisfrei, enthält also höchstens $|S| - 1$ Kanten.

Für $3 \leq |S| \leq n - 1$:

$$\sum_{v_i, v_j \in S, i < j} x_{ij} \leq |S| - 1,$$

oder kurz

$$x(S) \leq |S| - 1.$$

Subtour Elimination Constraints (SEC)



Diskussion Subtour Elimination Constraints

- Alternative Formulierung:

$$x(\delta(S)) \geq 2.$$

- Erste Formulierung besser für „kleine“ S , zweite für „große“ S .
- Es genügt, SECs für $3 \leq |S| \leq \frac{n}{2}$ zu formulieren.
- **Problem:** Die Anzahl der Subtour Elimination Constraints **wächst exponentiell in n** .
- **Lösungsansatz:**
 - ▶ Beginne nur mit den **Grad-Gleichungen als LP-Relaxation**.
 - ▶ Falls die Lösung der LP-Relaxation eine der **gültigen Ungleichungen verletzt**, nehme diese zur Relaxation **hinzu**.
- Mit diesem Ansatz lösen wir nun einige TSP-Probleme.

Beispiele für TSP mit Schnittebenen (1)

Beispiel 5.5

TSP von Folie 238.

LP: Grad-Ungleichungen für alle Knoten

$$z = 189$$

Verletzte Ungleichungen:

- Variablenbeschränkungen für:
AaDü, BeHa, MüNü
- Subtour für: Ba – Fr – St



Fortsetzung Beispiel.

Nehme entsprechende Ungleichungen hinzu.


$$z = 250$$

- ☞ Optimale Lösung der LP-Relaxation ist (die bekannte) zulässige TSP-Tour!
- ☞ Branching war nicht erforderlich!



Beispiele für TSP mit Schnittebenen (2)


Beispiel 5.6

Beispiel mit $n = 17$ aus TSPLIB (gr17).  Tafel.

LP-Relaxationen siehe Homepage.

Wiederum ist kein Branching notwendig.

Beispiel 5.7

Beispiel mit $n = 13$ aus TSPLIB (gr13).  Tafel.

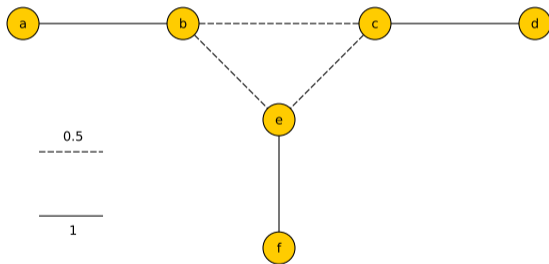
Im Gegensatz zu den beiden vorangegangenen Beispielen treten hier **Brüche bei den optimalen Lösungen der Relaxation** auf.

Trotzdem genügen die bekannten Ungleichungen, um das Problem zu lösen.

LP-Relaxationen siehe Homepage.

2-Matching-Ungleichungen (1)

Bei der Lösung einer TSP-Relaxation kann die folgende Situation (als Teil der gesamten Lösung) auftreten.



Hier ist **keine der uns bekannten gültigen Ungleichungen verletzt**. Was tun?

2-Matching-Ungleichungen (2)

Von den sechs Kanten können **höchstens vier** an einer TSP-Tour beteiligt sein.

- Es können maximal zwei der Kanten $\{b, c\}$, $\{b, e\}$, $\{c, e\}$ enthalten sein, sonst wäre die SEC für $S = \{b, c, e\}$ verletzt.
- Wenn zwei Kanten von $\{b, c\}$, $\{b, e\}$, $\{c, e\}$ enthalten sind, z. B. $\{b, c\}$ und $\{c, e\}$, dann ist eine äußere Kante nicht enthalten, hier $\{c, d\}$.
- Damit folgt:

$$x_{a,b} + x_{b,c} + x_{b,e} + x_{c,e} + x_{c,d} + x_{e,f} \leq 4$$

ist eine **gültige Ungleichung**, die die dargestellte Situation separiert.

2-Matching-Ungleichungen (3)

Zur Definition einer 2-Matching-Ungleichung benötigen wir:

- 1 eine Knotenmenge (**handle**) $H \subseteq V$ mit $3 \leq |H| \leq |V| - 1$,
- 2 eine Kantenmenge (**teeth**) $T \subseteq \delta(H)$ mit
 - ▶ einer **ungeraden Anzahl an Kanten**,
 - ▶ die keinen Knoten gemeinsam haben, also $e \cap e' = \emptyset$ für alle $e, e' \in T$ mit $e \neq e'$.

Die **2-Matching-Ungleichung** lautet dann:

$$x(H) + x(T) \leq |H| + \left\lfloor \frac{|T|}{2} \right\rfloor.$$

Herleitung der 2-Matching-Ungleichungen

- Vorzeichenbedingungen für alle $e \in \delta(H) \setminus T$:

$$-x_e \leq 0.$$

- Variablenbeschränkungen für alle $e \in T$:

$$x_e \leq 1.$$

- Gradgleichungen für alle $v \in H$ als \leq -Ungleichung:

$$x(\delta(v)) \leq 2.$$

Wir multiplizieren alle Gleichungen mit $\frac{1}{2}$ und summieren auf.

Damit erhalten wir:

$$\begin{array}{rcl}
 & -\frac{1}{2}x(\delta(H) \setminus T) & \leq 0 \\
 & \frac{1}{2}x(T) & \leq \frac{1}{2}|T| \\
 x(H) + \frac{1}{2}x(\delta(H) \setminus T) + \frac{1}{2}x(T) & \leq & |H|
 \end{array}$$

Die Summation dieser drei Ungleichungen liefert:

$$x(H) + x(T) \leq |H| + \frac{|T|}{2}.$$

Jetzt können wir die rechte Seite abrunden.

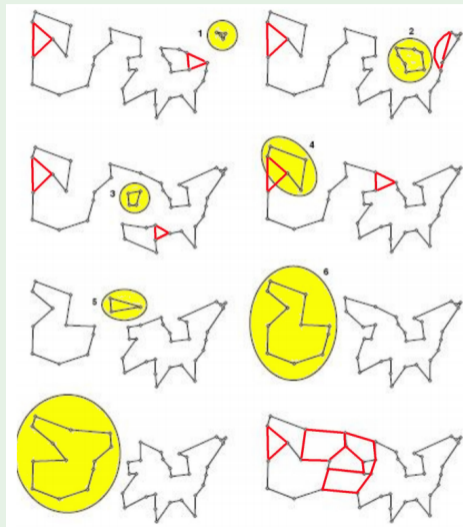
Beispiel 5.8 (Dantzig, Fulkerson, Johnson (1954))

Problem mit 42 US-Städten aus dem Jahr 1954.

schwarz = 1, rot = $\frac{1}{2}$

Sieben SECs liefern die Tour unten rechts.

Hier ist keine SEC mehr verletzt, aber **eine 2-Matching-Ungleichung**.

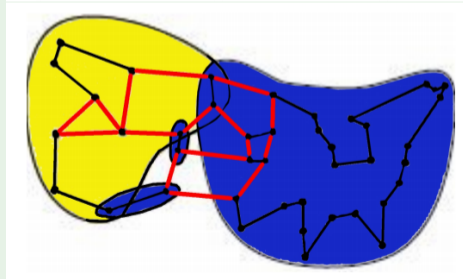
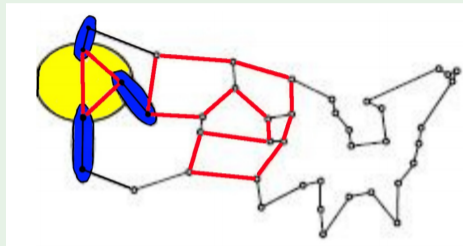


Fortsetzung Beispiel.

Die Grafik oben zeigt die verletzte 2-Matching Ungleichung.

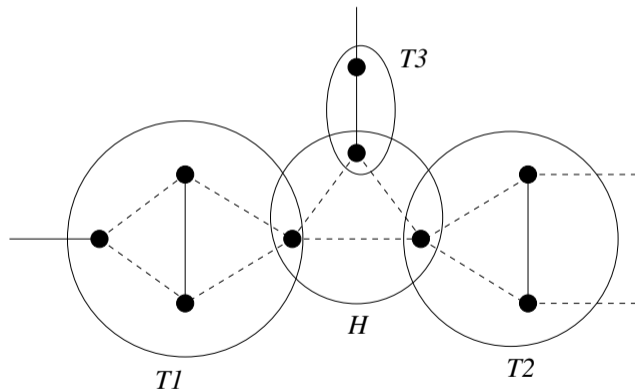
Nach Separation erhalten wir die Lösung unten.

Die hier verletzte Ungleichung ist eine
Verallgemeinerung einer
2-Matching-Ungleichung.



Comb-Ungleichungen (1)

2-Matching-Ungleichungen sind ein Spezialfall von **Comb-Ungleichungen**.



Comb-Ungleichungen (2)

Für eine Comb-Ungleichung benötigen wir:

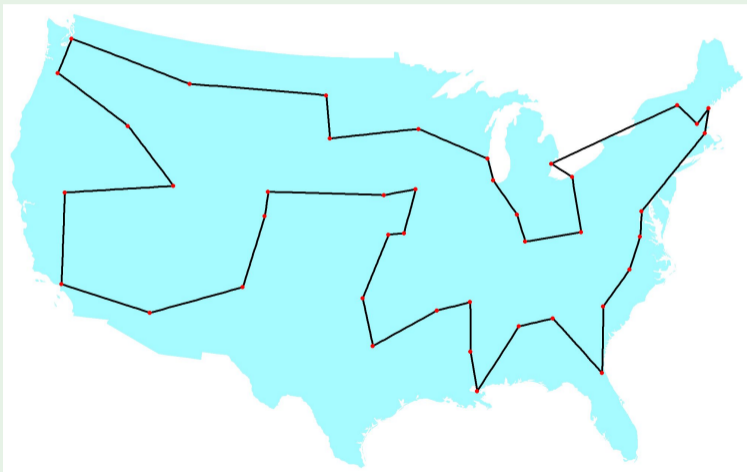
- ① eine Knotenmenge (**handle**) $H \subseteq V$
- ② eine ungerade Anzahl an Knotenmengen (**teeth**) $T_1, \dots, T_k \subseteq V$ für die gilt:
 - ▶ $T_i \cap T_j = \emptyset$ für $1 \leq i < j \leq k$,
 - ▶ $H \cap T_i \neq \emptyset$ für $1 \leq i \leq k$,
 - ▶ $T_i \setminus H \neq \emptyset$ $1 \leq i \leq k$.

Die **Comb-Ungleichung** lautet dann:

$$x(H) + \sum_{i=1}^k x(T_i) \leq |H| + \sum_{i=1}^k |T_i| - \left\lceil \frac{3k}{2} \right\rceil.$$

Beispiel 5.9

Separation der Comb-Ungleichung von Beispiel 5.8 führt zur optimalen Lösung.



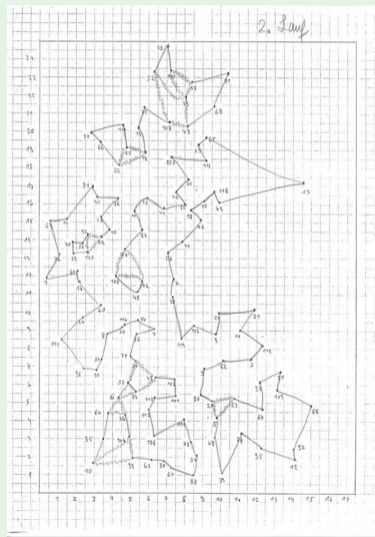
Beispiel 5.10 (Grötschel (1977))

Grötschel 1977, 120 Städte in Deutschland,
damals Weltrekord

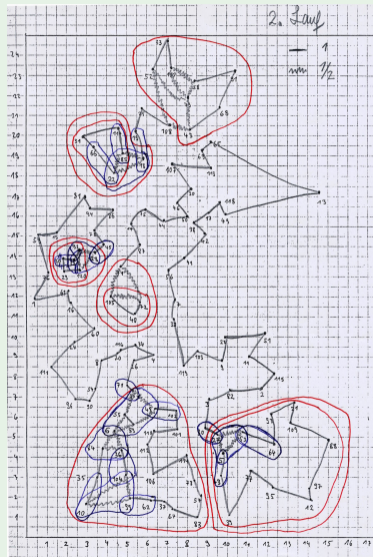
LP-Solver löst die Relaxationen, die dann
gezeichnet werden.

Anhand der Zeichnung werden neue verletzte
Ungleichungen identifiziert.

Welche SECs und 2-Matching-Ungleichung
können Sie erkennen?



Fortsetzung Beispiel.



Separationsverfahren

- Für die effiziente Lösung eines TSP müssen wir eine **verletzte gültige Ungleichung algorithmisch effizient erkennen** können.
- Hierzu können Heuristiken und exakte Verfahren eingesetzt werden.
- Grundlage für diese Verfahren ist der **stützende Graph** für die Lösung einer Relaxation.
- Die **Separation von verletzten Variablenbeschränkungen** ist offensichtlich trivial.
- Im Folgenden betrachten wir die **Separation von SECs**.

Support Graph

Definition 5.11

Es sei der vollständige Graph $G = (V, E)$ für ein TSP und \mathbf{x} die optimale Lösung einer LP-Relaxation.

Dann heißt der Graph $G(\mathbf{x}) = (V, E')$ mit

$$E' = \{e \in E \mid x_e > 0\}$$

stützender Graph (support Graph) von \mathbf{x} .

Wir ordnen dabei der Kante $e \in E'$ das Gewicht x_e zu.

- Der Stützgraph enthält also genau die Kanten, die zu **Entscheidungsvariablen mit einem positiven Wert** gehören.
- Wir haben in unseren Beispielen **schon implizit mit stützenden Graphen gearbeitet**.

Separation von SECs: Zusammenhang

Wir beginnen mit einer **sehr einfachen Heuristik**.

Lemma 5.12

Es sei $G(\mathbf{x})$ ein stützender Graph.

Dann gilt: Wenn $G(\mathbf{x})$ nicht zusammenhängend ist, dann bildet jede ZHK eine verletzte SEC.

Folgerung:

- Mittels Tiefen- oder Breitensuche können wir effizient verletzte SECs erkennen.
- In Beispiel 5.8 trifft dies auf **6 von 7 SECs** zu.

Separation von SECs: Schnitt

Grundlage für alle exakten Separationsverfahren für SECs ist das folgende Lemma.

Lemma 5.13

Es sei $G(\mathbf{x})$ ein stützender Graph.

Die SEC für eine Knotenmenge S ist genau dann verletzt, wenn

$$x(\delta(S)) < 2$$

gilt, d. h. die Schnittkanten zu S haben in $G(\mathbf{x})$ eine Kapazität (Gewicht) < 2 .

Folgerung:

- Wir berechnen einen **minimalen Schnitt für $G(\mathbf{x})$** .
- Wenn dieser Schnitt eine Kapazität < 2 hat, haben wir eine verletzte SEC gefunden.

Schnitte berechnen

- gerichteter Graph mit ausgezeichneter Quelle s und Senke t : **Ford-Fulkerson- bzw. Edmonds-Karp-Algorithmus** zur Berechnung eines Maximalflusses bzw. eines minimalen Schnitts.
- prinzipiell möglich: Wir ersetzen im Stützgraph $G(\mathbf{x})$ jede **ungerichtete Kante durch zwei gerichtete Kanten** und
- lösen das **Maximalflussproblem für jede mögliche s, t -Menge**.
- also: $\frac{n(n-1)}{2}$ Fluss-/Schnittprobleme
- **ist polynomiell!**
- Verbesserung mit dem **Gomory-Hu-Algorithmus** auf $n - 1$ Fluss-/Schnittprobleme.

Reduktionsverfahren für SECs (1)

Insbesondere für eine exakte Separation von SECs bietet es sich an, den Stützgraph vor Berechnung der Schnitte zu „schrumpfen“.

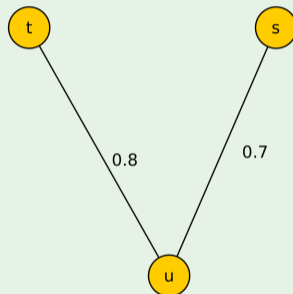
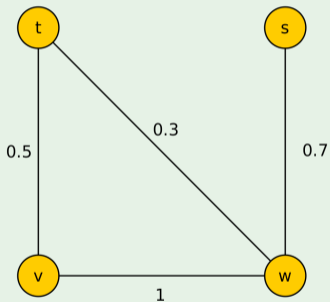
Algorithmus 5.14 (Padberg/Crowder)

Solange es Kanten $e = \{v, w\}$ mit Gewicht $x_e = 1$ gibt, wiederhole:

- 1 *Wähle eine Kante $e = \{v, w\}$ mit Gewicht 1.*
- 2 *Ersetze die Kante e durch einen neuen Knoten u .*
- 3 *Wenn es einen oder mehrere Knoten t gibt, die zu beiden Knoten v und w adjazent sind, dann ersetze die Kanten $\{v, t\}$ und $\{w, t\}$ durch eine Kante $\{u, t\}$ mit Gewicht $x_{\{u,t\}} = x_{\{v,t\}} + x_{\{w,t\}}$.*
- 4 *Wenn es einen oder mehrer Knoten t gibt, die entweder nur zu v oder nur zu w adjazent sind, so ersetze die jeweilige Kante durch $\{u, t\}$ mit dem gleichen Gewicht wie zuvor.*

Reduktionsverfahren für SECs (2)

Beispiel 5.15



Vor-und Nachteile von Branch-and-Cut

Vorteile:

- Für viele Probleme führt der Branch-and-Cut-Ansatz zu vergleichsweise effizienten Lösungsalgorithmen.
- Für die Lösung der LP-Relaxationen stehen leistungsfähige LP-Solver zur Verfügung.

Nachteile:

- **hoch spezialisierter Ansatz:** Schnittebenen und Separation sind problemspezifisch.
- **theoretische Hürde:** Es müssen leistungsfähige Schnittebenen bekannt sein, in Verbindung mit effizienten Separationsalgorithmen.
- **hoher Implementierungsaufwand:** Die Separationsalgorithmen selbst können sehr komplex sein.

Branch-and-Cut mit rein ganzzahligen Lösungen (1)

Problem: Wir wären gerne in der Lage, **schnell einen Prototyp zu implementieren**, um die Leistungsfähigkeit eines Branch-and-Cut-Ansatzes für ein Optimierungsproblem einschätzen zu können.

Idee:

- Einsatz **moderner leistungsfähiger Solver** für die **ganzzahlige Programmierung**.
- Wir nutzen die eingebauten Techniken der Solver, um die LP-Relaxationen **optimal ganzzahlig** zu lösen.
- Separation nur auf den **ganzzahligen Lösungen**

Branch-and-Cut mit rein ganzzahligen Lösungen (2)

Das beschriebene Verfahren eignet sich für kombinatorische Optimierungsprobleme mit einer großen Anzahl an Nebenbedingungen in der LP-Formulierung (Beispiel: TSP).

Algorithmus 5.16

Es sei I eine Probleminstanz eines kombinatorischen Optimierungsproblems.

- 1 *Lege eine LP-Relaxation P für I fest.*
- 2 *Bestimme eine ganzzahlige Lösung x für P .*
- 3 *Ist x zulässig für I ? Wenn ja, dann **STOP!***
- 4 *Bestimme für x eine verletzte gültige Ungleichung und füge diese P hinzu.*

Gehe zu 2.

Beispiel TSP

Wenn wir nur ganzzahlige Lösungen der LP-Relaxationen betrachten,

- dann ist durch Gradgleichungen und **SECs das Problem vollständig beschrieben**.
- Die Variablenbeschränkungen entsprechen **SECs auf zwei Knoten**.
- Die **Separation für SECs ist sehr einfach zu implementieren**.

Fazit: Geringer Aufwand zur Implementierung eines TSP-Solvers.

Mit diesem einfachen Ansatz kann man schon erstaunliches erreichen.

Anwendung TSP

Beispiel 5.17

Lösungszeiten (real time) für TSP-Probleme auf i5-8250U CPU (4 Kerne/8 Threads)
Notebook mit Gurobi 9 als ILP-Solver:

Problem	#Städte	Zeit
gr21	21	0,016s
fri26	26	0,032s
gr48	48	0,312s
gr96	96	1,636s
rd100	100	0,558s
gr120	120	2,079s

Problem	#Städte	Zeit
bier127	127	0,679s
gr202	202	5,367s
gr229	229	19,521s
rd400	400	1m30,070s
gr431	431	7m37,847s
gr666	666	3m45,436s

Alle Probleme stammen aus der [TSPLIB](#).

Linear Ordering Problem

Gegeben seien n Objekte o_1, \dots, o_n , die in eine Reihenfolge gebracht werden sollen.

Gesucht ist also eine Permutation der n Objekte.

Wenn in der Permutation Objekt o_i (irgendwo) vor Objekt o_j steht, dann fällt Nutzen/Kosten c_{ij} an.

Welche Reihenfolge ist optimal?

Linear Ordering Problem als LP

Variablen

$$x_{ij} = \begin{cases} 1 & o_i \text{ ist vor } o_j \\ 0 & \text{sonst} \end{cases}$$

Maximiere

$$\min \sum_{i=1}^n \sum_{j=1, j \neq i}^n c_{ij} x_{ij}$$

unter den Nebenbedingungen

$$x_{ij} + x_{ji} = 1 \text{ für alle } i < j$$

$$x_{ij} + x_{jk} + x_{ki} \leq 2 \text{ für alle } i < j, i < k, j \neq k$$

$$x_{ij} \in \{0, 1\}.$$

Die Ungleichungen heißen **Dicycle**-Ungleichungen.

Diskussion Linear Ordering Problem

- LOP ist (als Entscheidungsproblem) **NP-vollständig**.
- $O(n^3)$ viele **Dicycle-Ungleichungen**, problematisch für größere n
- einfacher Branch-and-Cut-Ansatz:
 - ▶ beginne nur mit den Gleichungen $x_{ij} + x_{ji} = 1$,
 - ▶ prüfe in einer ganzzahligen Lösung, ab alle Dicycle-Ungleichungen erfüllt sind und
 - ▶ füge verletzte Dicycle-Ungleichungen der Relaxation hinzu.

LP-Solver-Frameworks

- Die modernen LP-Solver bieten ein **Framework** für die Entwicklung von Algorithmen an.
- Man kann nicht nur einen LP-Solver nutzen, sondern über das Framework **selbst in die Lösung eingreifen**.
- Hierzu registriert man beim Solver eine **Callback-Funktion**, die bei bestimmten Ereignissen aufgerufen wird.
- Die Callback-Funktion kann dazu genutzt werden
 - ▶ **Schnittebenen** zu erzeugen und
 - ▶ **heuristische Lösungen** zu generieren.

Beispiel Gurobi

Reference Manual

- **Monitoring Progress - Logging and Callbacks**
 - ▶ GRBsetcallbackfunc
 - ▶ GRBcbget
- **Modifying Solver Behavior - Callbacks**
 - ▶ GRBcbcut
 - ▶ GRBcblazy
 - ▶ GRBcbsolution
- **Callback Codes**
 - ▶ MIPNODE
 - ▶ MIPSOL

Examples: Gurobi TSP Beispiel

Zusammenfassung

- Branch-and-Cut: Branch-and-Bound in Verbindung mit **problemspezifischen Schnittebenen** und **effizienter Separation**
- sehr erfolgreich bei der Suche nach optimalen Lösungen
- Schnittebenen für TSP: **SECs**, **2-Matching-** und **Comb-Ungleichungen**
- hoher Implementierungsaufwand
- praktischer Ansatz:
 - ▶ Separation **rein ganzzahliger Lösungen**
 - ▶ Nutzung leistungsfähiger **LP-Solver als Branch-and-Cut-Framework**